

Beweis

a) über $\underline{U}_{ww}(t, t')$ zwei Größen definiert

Streuamplitude / Vertauschungsamplitude

$$\lim_{t, t' \rightarrow t_0} \langle \psi_f | \underline{U}_{ww}(t, t') | \psi_f \rangle / \mathcal{R}(H, t) = \langle \psi_0 | \underline{U}_{ww}(t, t') | \psi_0 \rangle$$

$$\underline{U}_{ww}(t, t') = \sum_{n=0}^{\infty} \left(\frac{1}{i\hbar} \right)^n \frac{1}{n!} \int_{t'}^t dt_1 \dots \int_{t'}^t dt_n \langle T \underline{U}_{ww}(t_1) \dots \underline{U}_{ww}(t_n) \rangle$$

b) Operatoren in die Formeln

$$\underline{U}_{ww} \left(\begin{array}{c} \underline{a}^\dagger(t), \underline{a}(t), \underline{b}(t) \\ \uparrow \quad \quad \uparrow \\ \text{ww-Bild} \quad \text{ww-Bild, Teil wird mitgeschleppt} \end{array} \right)$$

Wandelt zw. Formulier. um. weil man $\langle \mathcal{F}(t) | 0 | \mathcal{F}(t) \rangle$

umwandeln lässt

↳ Schrödinger-Bild

$$\langle \mathcal{F}(t) | 0 | \mathcal{F}(t) \rangle = \langle \mathcal{F}' | 0' | \mathcal{F}' \rangle$$

' bzw. formale Größe

gilt, wenn: $|\mathcal{F}(t)\rangle \xrightarrow{\text{Operator}} \underline{\underline{A(t) |\mathcal{F}(t)\rangle}} = |\mathcal{F}'\rangle$

$$0 \rightarrow A 0 A^\dagger = 0'$$

wenn $A^\dagger = A^{-1}$ (unitär)

gut erles
Kohärenz
↓

Weghal wirtgs bild $A = e^{i \frac{\hbar \omega_0}{\hbar} t}$ gewählt $(\omega = \hbar \omega_0 + \hbar \omega_{cl})$

$$\underline{|\psi(t)\rangle} = e^{i \frac{\hbar \omega_0}{\hbar} t} |\psi(t)\rangle$$

↑
WW-Bild

↑
Sz-Bild

$$\underline{0(t)} = e^{i \frac{\hbar \omega_0}{\hbar} t} 0 e^{-i \frac{\hbar \omega_0}{\hbar} t}$$

Ziel ist kein Problem wenn man sich die „alten“ Schrödgl.

neu schreiben (einfacher?) aufschreibt:

WW-Bild:

$$i \hbar \underline{|\dot{\psi}(t)\rangle} = \underline{\hbar \omega_0} (t) |\underline{\psi(t)\rangle}$$

Zeit (gut es ist Schrödgl. nicht)

↑
neu Weghal wirtgs.

die se kein fady.
ist „stumpf“ durch

Komplizierg.

des Operatrs

$$i \hbar \underline{\dot{0}} = [\hbar \omega_0, \underline{0}]$$

$$\underline{a_n^{(+)}(t)} = e^{i \frac{\hbar \omega_0}{\hbar} t} a_n e^{-i \frac{\hbar \omega_0}{\hbar} t} = e^{-i \frac{\hbar \omega_0}{\hbar} t} a_n^{(+)}(t)$$

führt auf eine etwas einfachere Schrödingergl.

mit der Ansatz:

$$|\underline{\psi}(t)\rangle = \underline{U}_{\text{WW}}(t, t') |\underline{\psi}(t')\rangle$$

dieser Ansatz führt auf die Ric für $\underline{U}_{\text{WW}}(t, t')$. (siehe VL)

c) Mittelwert in der Form

$$\langle \cdot \rangle \begin{array}{l} \nearrow \langle \phi_1 | \dots | \phi_0 \rangle \\ \searrow \end{array} \quad \text{Basis dieser Form sp. ist}$$
$$\text{sp}(\cdot, \rho)$$

(mit ρ um ρ)

d) gemittelt sind $\langle T a_i^\dagger a_j^\dagger a_k a_l \rangle$

$$\left(\text{denn } \sim \langle T \underline{H}_{\text{WW}} \dots \rangle \right)$$

z.B. Coulomb WW: $\frac{1}{2} \sum_{n, l, m, k} V_{nlmk} a_n^\dagger a_l^\dagger a_m a_k$

1.9.1. Wick Theorem

Erwartungswerte zeitgeordneter Operatorprodukte zerlegen
(in kleinere Bausteine)

Baustein 1 $D(t_1, t_2) = \sum_{\alpha} g_{\alpha}^{\pm} \left\{ (1 + u_{\alpha}) e^{-i\omega_{\alpha}|t_1 - t_2|} + u_{\alpha} e^{\pm i\omega_{\alpha}(t_1 \mp t_2)} \right\}$

Phonon propagator

α -Phonon mode

u_{α} - Bose verteilung (T)

(vor 2 Klammern)

Vieltheoreme 1: ^{vide} Zeitgeordnete Produkte v. $\sqrt{}$ Operatoren im WW Bild
wird in zeitgeordnete Produkte v. 2 Operatoren zerlegt

$$\langle T \phi_1 \phi_2 \phi_3 \dots \rangle = \sum_{\text{alle mögl. Kombinationen}} \prod_{(a,b)} D(t_a, t_b)$$

\nearrow
 $\sum_{\alpha_1} (b_{\alpha_1}^+(t_1) + b_{\alpha_1}^-(t_1)) g_{\alpha_1}$

z.B. $\langle T \phi_1 \phi_2 \phi_3 \phi_4 \rangle$

$$= \underbrace{\langle T \phi_1 \phi_2 \rangle}_{D(t_1, t_2)} \underbrace{\langle T \phi_3 \phi_4 \rangle}_{D(t_3, t_4)} + \langle T \phi_1 \phi_3 \rangle \langle T \phi_2 \phi_4 \rangle$$

$$+ \langle T \phi_1 \phi_4 \rangle \cdot \langle T \phi_2 \phi_3 \rangle$$

Baustein 2

$$G(t_1, t_2) = \langle T a_1^\dagger a_2 \rangle = \delta_{12} \rho_1^F e^{i \frac{\epsilon_1}{\hbar} (t_1 - t_2)}$$

\uparrow
 $a_{n_1}^\dagger(t_1)$

$1 \hat{=}$ Elektronen

$\rho^F(T)$ Fermifunktion mit Energie ϵ_1

2. Wicktheorem: Zeitgeordnete Produkt v. \hat{O} -Operatoren im GW Bild:

wird in 2er Produkt zerlegt:

$$\langle T a_1^\dagger a_2 a_3^\dagger a_4 \rangle =$$

$$\langle T a_1^\dagger a_2 \rangle \langle T a_3^\dagger a_4 \rangle - \langle T a_1^\dagger a_3^\dagger \rangle \langle T a_2 a_4 \rangle$$

Statt + wieder Boson

bedeutet um V mit Ansatz V

da übliche gedankliche Vertauschung gilt

$$(-1)^{\nu} = \text{Vorzeichen}$$

$$+ \langle T a_1^\dagger a_4 \rangle \langle T a_2 a_3^\dagger \rangle$$

$$(-1)^2$$

$$G^+(t_2, t_3) = \delta_{23} (1 - P_{21}^T) e^{-i\varepsilon_2(t_2 - t_3)}$$

3. Wick's Theorem: verbindet Operatoren unter ein $\langle \quad \rangle$

$$\langle T a^\dagger b^\dagger a b \rangle = \langle T a^\dagger a \rangle \langle T b^\dagger b \rangle$$

↑
faktoriell

2. Wick 1. Wick

1.4.2. Diagramm-entwicklung der Correlations-Funktion

$$\text{braue } \underline{u}_{\mu\nu}(t, t') = \sum_{n=0}^{\infty} W_n(t, t')$$

$$W_n = \frac{1}{n!} \frac{1}{(i\hbar)^n} \int_{t'}^t dt_1 \cdots \int_{t'}^t dt_n \langle T V_{t_1} V_{t_2} \cdots V_{t_n} \rangle$$

$$V_i = \sum_{\mu, \nu, \alpha, \beta} V_{\mu, \nu, \alpha, \beta} a_{\mu}^{\dagger}(t_i) a_{\nu}^{\dagger}(t_i) a_{\alpha}(t_i) a_{\beta}(t_i)$$

man kann eine Ordnung hier schreiben und auch Wick 2 etc.:

$$\langle T a_1^{\dagger} a_1^{\dagger} a_1 a_1 a_2^{\dagger} a_2^{\dagger} a_2 a_2 a_3^{\dagger} a_3^{\dagger} a_3 a_3 \rangle \quad \text{3. Ordnung}$$

→ $\sum_{\text{alle Korb.}} G G G G \dots$

Wie viele Taktoren?

Zunächst ($\langle T a^+ a^+ \rangle = 0$
 $\langle T a a \rangle = 0$)

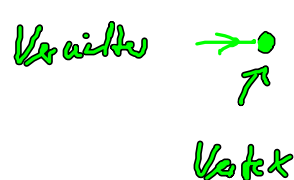
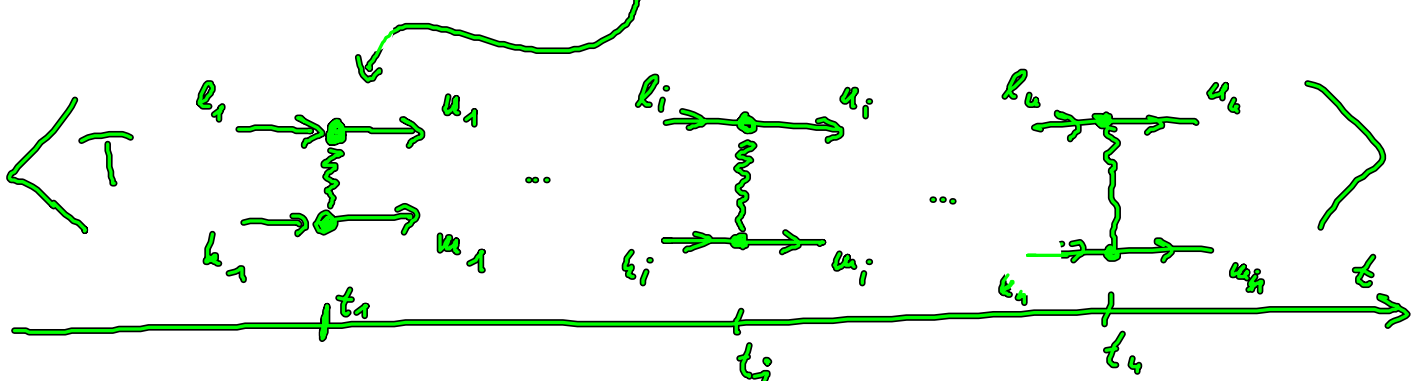
Anzahl d. G's in der n-ten Ordnung: 2n Erzeuger, 2n Vernichter
 jedes a^+ kann mit 2n-1 Vernichtern kombinieren
 der nächst Erzeuger kann nur mit (2n-2) Vernichtern kombinieren.

$2n(2n-1)(2n-2) \dots = (2n)!$

Jede Summand enthält $(2n)!$ Elektronenpaare G bzw G^+

man versteht graphisch Darstellung:

$\frac{1}{n!} \frac{1}{(ik)^n} \frac{1}{2^n} \langle T V_{a_1 a_1, b_1 b_1} a_{a_1}^+ a_{a_1}^+ a_{a_1} a_{a_1} (t_1) \dots (t_n) \rangle$



an Verten findet UV skt


un $\hat{=}$ Vorfaktoren + Integrale

was nicht gibt die G's kombinieren:

Beispiel:

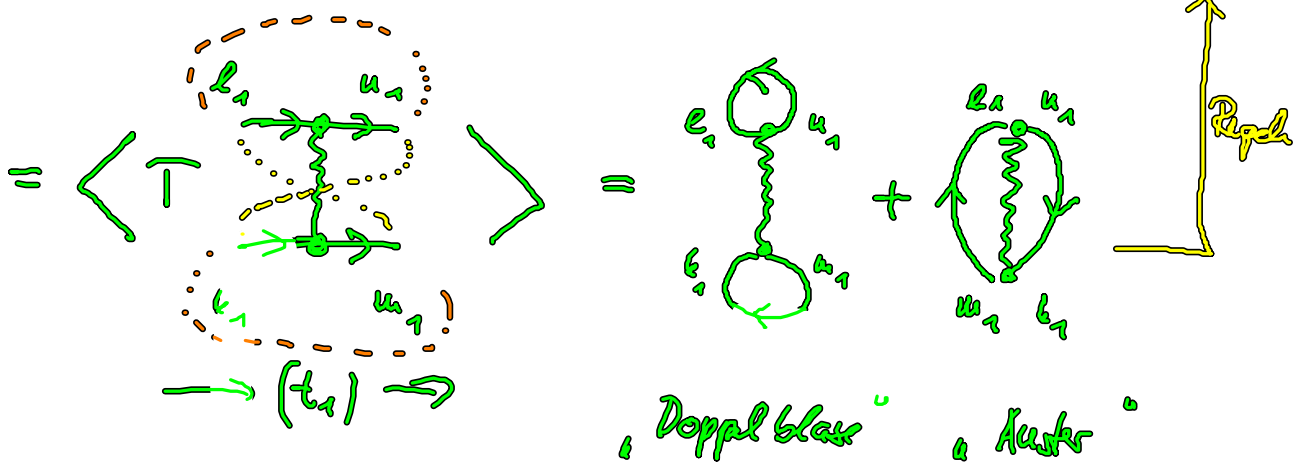
$$\frac{1}{i! it^i} \langle T V(t_1) \rangle = \frac{1}{i!} \frac{1}{i!} \sum_{\substack{u_1, \dots, u_i \\ t_1, \dots, t_i}} V_{u_1, \dots, u_i, t_1, \dots, t_i} \langle T a_{u_1}^+(t_1) \dots a_{u_i}^+(t_i) / a_{u_1}(t_1) \dots a_{u_i}(t_i) \rangle$$

\uparrow
 1. Term ($i=1$)



$$= \frac{1}{2! i!} \sum_{\substack{u_1, u_2 \\ t_1, t_2}} V_{u_1, u_2, t_1, t_2} (G_{u_1, t_1}(t_1 - t_2) G_{u_2, t_2}(t_1 - t_2) - G_{u_1, t_2}(t_1) G_{u_2, t_1}(t_2))$$

\uparrow
 $(-1)^3$



Ziel: die Reihe in Bilder übersetzen,

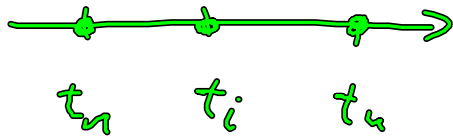
durch Identifikation Notwendig werden oder

Teile der Reihe aufzusummieren (nicht streng korrekt)

den das zueich übersetzen!

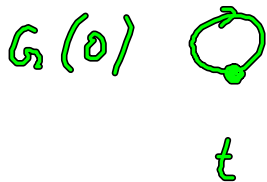
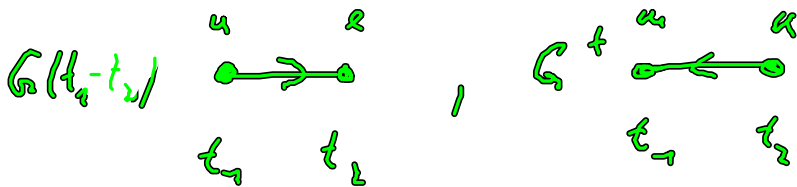
Feynman Regel f. diagrammatisches Aufschreiben der
Valuen amplitud

1.) Zeitstrahl läuft v. links nach rechts



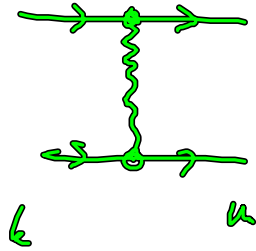
bezieht sich auf Zeitpunkte
(Vertice, Vertices)

2.) Zwischen den Vertices laufen immer Pfeile
die G^0 bzw. G^+ repräsentieren



3.) Wechselwirkung 2. Zeit wird und ξ dargestellt

α α



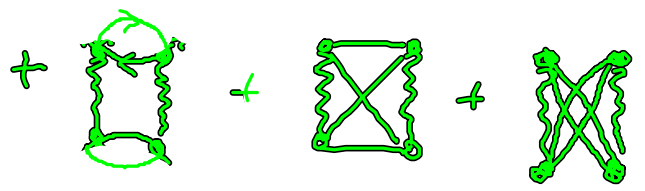
4.) zur Bestimmung der n -ten Ordnung Störterme

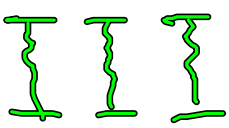
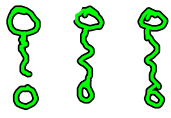
hier :

a) n -Wendepunkt. Diagramme an Zeitachse zeichnen

b) alle mögl. Verbinden (Kombinationen)
ausführen zwisch den Pfeile

<u>Ordnung n</u>	<u>Anzahl $(2n)!$</u>	<u>Diagramme</u>
0	1	die Zahl "1"
1	2	
2	24	



3 720  \rightarrow  $+ \dots$